

УДК 539.3

## ВЛИЯНИЕ ОДНОРОДНОГО СТАЦИОНАРНОГО ТЕМПЕРАТУРНОГО ПОЛЯ НА НАПРЯЖЕННО-ДЕФОРМИРОВАННОЕ СОСТОЯНИЕ ЭЛАСТОМЕРОВ ПРИ СТАТИЧЕСКИХ КОНЕЧНЫХ ДЕФОРМАЦИЯХ

© 2019 г. Б. А. Жуков<sup>a,b,\*</sup>

<sup>a</sup> Волгоградский государственный социально-педагогический университет, Волгоград, Россия

<sup>b</sup> Волгоградский государственный технический университет, Волгоград, Россия

\*e-mail: zhukov.b.a@gmail.com

Поступила в редакцию 11.01.2019 г.

После доработки 20.01.2019 г.

Принята к публикации 30.01.2019 г.

Продемонстрирована постановка задач термоупругости, учитывающая нелинейную зависимость теплового расширения от температуры при конечных деформациях. В рамках этой постановки показано существенное влияние теплового расширения эластомеров на напряженно-деформированное состояние. В качестве примера рассмотрена изотермическая деформация круглой эластомерной цилиндрической втулки с потенциалом энергии деформации Муни–Ривлина, подвергнутой на внутренней и внешней боковых поверхностях действию продольных сдвигающих сил. Далее, деформированная втулка помещается в однородное температурное поле, в котором она свободно расширяется.

*Ключевые слова:* термомеханика, экспоненциальный закон зависимости теплового расширения от температуры, конечные деформации, гиперупругость, несжимаемость, продольный сдвиг

DOI: 10.1134/S0572329919060138

**1. Введение.** Предполагается, что влияние поля температур на напряженно-деформированное состояние эластомеров проявляется двояко, через температурную зависимость модулей упругости и через механизм теплового расширения. Обычно при технических расчетах эластомеров температурной зависимостью модулей упругости пренебрегают, а тепловое расширение полагают подчиняющимся линейному закону  $\lambda = 1 + \alpha \Delta T$ ,  $\Delta T = T - T_0$ , где  $\alpha$  – линейный коэффициент теплового расширения,  $T_0$  – начальная температура,  $T$  – текущая температура,  $\lambda$  – кратность удлинения материального волокна [1, 2]. Такой подход приводит к тому, что для эластомеров с их низкими модулями упругости вклад теплового расширения в напряженное состояние становится пренебрежимо мал, и термомеханика применяется только для расчетов теплообразования при циклическом нагружении [3]. В работе [4] со ссылкой на эксперимент, и в работе [5] в результате теоретических рассуждений заявлено, что при конечных деформациях тепловое расширение эластомеров подчиняется экспоненциальному закону  $\lambda = e^{\alpha \Delta T}$ . Ниже продемонстрирована постановка задач статики нелинейной термоупругости с экспоненциальным законом зависимости теплового расширения от температуры. На примере цилиндрической деформации (комбинации плоской и антиплоской деформации) [6], позволяющей получить для потенциала энергии

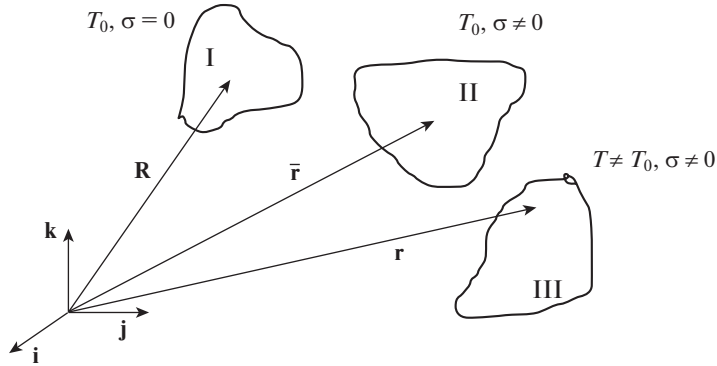


Рис. 1

деформации Муни–Ривлина точные решения, показано существенное влияние температуры на напряженно-деформированное состояние эластомеров.

**2. Общая постановка.** В работе рассматривается вариант процесса термоупругой деформации как композиции деформирования под действием напряжений при неизменной температуре  $T_0$  и свободного теплового расширения при неизменных напряжениях и изменении температуры от  $T_0$  до  $T$ . Внутренняя диссипация отсутствует, поэтому деформация под действием напряжений не меняет температуру. Другой вариант композиции свободного теплового расширения с нулевыми напряжениями при изменении температуры от  $T_0$  до  $T$  и деформирования под действием напряжений при неизменной температуре  $T$  рассмотрен в [4]. Последний вариант отличается от представленного тем, что тепловое расширение происходит при нулевых напряжениях и не дает вклада в энергию деформации. Поле температур считается однородным. Неискаженную конфигурацию при  $T = T_0, \sigma = 0$  полагаем отсчетной. Здесь  $\sigma$  – обозначение для напряжения.

Соотношения между конфигурациями и векторы места точек в этих конфигурациях изображены на рис. 1. Введем следующие тензоры градиентов деформации:

$$\begin{aligned} d\bar{\mathbf{r}} &= \mathbf{F} \cdot d\mathbf{R} \\ d\mathbf{r} &= \bar{\mathbf{F}} \cdot d\bar{\mathbf{r}} \\ d\mathbf{r} &= \mathbf{F}^* \cdot d\mathbf{R} \end{aligned} \quad (2.1)$$

Здесь  $\mathbf{F}$  – тензор градиента изотермической деформации нелинейной теории упругости. Из (2.1) следует связь

$$\mathbf{F}^* = \bar{\mathbf{F}} \cdot \mathbf{F} \quad (2.2)$$

При конечных деформациях термически изотропного материала тензор градиента деформации теплового расширения  $\bar{\mathbf{F}}$  представляется в виде [4, 5]

$$\bar{\mathbf{F}} = e^{\alpha \Delta T} \mathbf{E}, \quad \mathbf{E} = \mathbf{ii} + \mathbf{jj} + \mathbf{kk}$$

Здесь  $\mathbf{E}$  – единичный тензор,  $\{\mathbf{i}, \mathbf{j}, \mathbf{k}\}$  – базис декартовой системы координат. Два рядом стоящих вектора – диада. Таким образом,

$$\mathbf{F}^* = e^{\alpha \Delta T} \mathbf{F}$$

Через тензор градиента деформации  $\mathbf{F}^*$  выражаются правый  $\mathbf{C}^*$  и левый  $\mathbf{B}^*$  тензоры деформации Коши–Грина (значок  $Tr$  означает транспонирование, точка – скалярное произведение)

$$\begin{aligned}\mathbf{C}^* &= \mathbf{F}^{*Tr} \cdot \mathbf{F}^* = \mathbf{F}^{Tr} \cdot \mathbf{F} e^{2\alpha\Delta T} = \mathbf{C} e^{2\alpha\Delta T} \\ \mathbf{B}^* &= \mathbf{F}^* \cdot \mathbf{F}^{*Tr} = \mathbf{F} \cdot \mathbf{F}^{Tr} e^{2\alpha\Delta T} = \mathbf{B} e^{2\alpha\Delta T}\end{aligned}\quad (2.3)$$

Их главные алгебраические инварианты имеют вид

$$\begin{aligned}I_1^* &= \mathbf{C}^* \cdot \cdot \mathbf{E} = \mathbf{C} \cdot \cdot \mathbf{E} e^{2\alpha\Delta T} = I_1 e^{2\alpha\Delta T} \\ I_2^* &= \frac{1}{2}(I_1^{*2} - \mathbf{C}^{*2} \cdot \cdot \mathbf{E}) = \frac{1}{2}(I_1^2 - \mathbf{C}^2 \cdot \cdot \mathbf{E}) e^{4\alpha\Delta T} = I_2 e^{4\alpha\Delta T} \\ I_3^* &= \frac{1}{6}(I_1^{*3} - 3I_1^* \mathbf{C}^{*2} \cdot \cdot \mathbf{E} + 2\mathbf{C}^{*3} \cdot \cdot \mathbf{E}) = \frac{1}{6}(I_1^3 - 3I_1 \mathbf{C}^2 \cdot \cdot \mathbf{E} + 2\mathbf{C}^3 \cdot \cdot \mathbf{E}) e^{6\alpha\Delta T} = I_3 e^{6\alpha\Delta T}\end{aligned}\quad (2.4)$$

Для изотермически несжимаемого материала  $I_3 = 1$ .

Материал полагается механически и термически однородным и изотропным, а также гиперупругим (отсутствует внутренняя диссипация). Это подразумевает существование потенциала энергии деформации, зависящего только от главных инвариантов правого или левого тензоров деформации Коши и температуры  $W^*(I_1^*, I_2^*, I_3^*, T)$  такового, что:

$$\mathbf{D}^* = \frac{\partial W^*}{\partial \mathbf{F}^{*Tr}} \quad (2.5)$$

Здесь  $\mathbf{D}^*$  тензор напряжений Пиолы [7] (по [8] – транспонированный первый тензор напряжений Пиолы–Кирхгофа).

Проведем стандартные преобразования [7] в выражении (2.5) с учетом теплового расширения для изотермически сжимаемого ( $I_3 \neq 1$ ) материала

$$\begin{aligned}\mathbf{D}^* &= \frac{\partial W^*}{\partial \mathbf{F}^{*Tr}} = 2 \frac{\partial W^*}{\partial \mathbf{C}^*} \cdot \mathbf{F}^{*Tr} = 2 \left[ \frac{\partial W^*}{\partial I_1^*} \mathbf{F}^{Tr} + \frac{\partial W^*}{\partial I_2^*} (I_1^* \mathbf{E} - \mathbf{C}^*) \cdot \mathbf{F}^{*Tr} + I_3^* \frac{\partial W^*}{\partial I_3^*} \mathbf{F}^{*-1} \right] = \\ &= 2 \mathbf{F}^{*-1} \cdot \left[ \frac{\partial W^*}{\partial I_1^*} \mathbf{B}^* + \frac{\partial W^*}{\partial I_2^*} (I_1^* \mathbf{B}^* - \mathbf{B}^{*2}) + I_3^* \frac{\partial W^*}{\partial I_3^*} \mathbf{E} \right] = \\ &= 2 \mathbf{F}^{*-1} \cdot \left[ \frac{\partial W^*}{\partial I_1^*} \mathbf{B}^* - I_3^* \frac{\partial W^*}{\partial I_2^*} \mathbf{B}^{*-1} + \left( I_2^* \frac{\partial W^*}{\partial I_2^*} + I_3^* \frac{\partial W^*}{\partial I_3^*} \right) \mathbf{E} \right]\end{aligned}$$

Была использована теорема Гамильтона–Келли  $I_1^* \mathbf{B}^* - \mathbf{B}^{*2} = I_2^* \mathbf{E} - I_3^* \mathbf{B}^{*-1}$ .

Для изотермически несжимаемого материала ( $I_3 = 1$ ,  $I_3^* = e^{6\alpha\Delta T}$ ) используя множитель Лагранжа  $h^*$ , зависящий от координат точек и температуры, потенциал энергии деформации можно переписать в виде

$$W^* = W^*(I_1^*, I_2^*, T) + h^*(I_3 - 1)$$

Соотношение  $I_3^* \partial W^* / \partial I_3^* = I_3 \partial W^* / \partial I_3$ , позволяет получить формулу

$$\mathbf{D}^* = 2 \mathbf{F}^{*-1} \cdot \left[ \frac{\partial W^*}{\partial I_1^*} \mathbf{B}^* - e^{6\alpha\Delta T} \frac{\partial W^*}{\partial I_2^*} \mathbf{B}^{*-1} + \left( I_2^* \frac{\partial W^*}{\partial I_2^*} + h^* \right) \mathbf{E} \right]$$

Введя обозначение  $p^* = 4(I_2^* \partial W^* / \partial I_2^* + h^*) / \mu(T)$ , получим

$$\mathbf{D}^* = \mathbf{F}^{*-1} \cdot 2 \left[ \frac{\partial W^*}{\partial I_1^*} \mathbf{B}^* - e^{6\alpha\Delta T} \frac{\partial W^*}{\partial I_2^*} \mathbf{B}^{*-1} + \frac{\mu(T)}{4} p^* \mathbf{E} \right] \quad (2.6)$$

Здесь  $\mu(T)$  – модуль сдвига линейной теории. Перепишем (2.6) в форме

$$\mathbf{D}^* = e^{3\alpha\Delta T} \mathbf{F}^{*-1} \cdot 2 \left[ \frac{\partial W^*}{\partial I_1^*} e^{-3\alpha\Delta T} \mathbf{B}^* - e^{3\alpha\Delta T} \frac{\partial W^*}{\partial I_2^*} \mathbf{B}^{*-1} + \frac{\mu(T)}{4} p^* e^{-3\alpha\Delta T} \mathbf{E} \right]$$

Откуда, используя соотношение [7]  $\mathbf{D}^* = \sqrt{I_3^*} \mathbf{F}^{*-1} \cdot \mathbf{S}^*$ , где  $\mathbf{S}^*$  – тензор напряжений Коши, следует выражение для тензора напряжений Коши

$$\mathbf{S}^* = 2 \left[ \frac{\partial W^*}{\partial I_1^*} e^{-3\alpha\Delta T} \mathbf{B}^* - e^{3\alpha\Delta T} \frac{\partial W^*}{\partial I_2^*} \mathbf{B}^{*-1} + \frac{\mu(T)}{4} p^* e^{-3\alpha\Delta T} \mathbf{E} \right]$$

В качестве потенциала энергии деформации возьмем вариант потенциала Муни–Ривлина в виде [9], то есть предполагается, что потенциал зависит от температуры явно.

$$W^* = \frac{\mu(T)}{4} [(1 + \beta)(I_1^* - 3) + (1 - \beta)(I_2^* - 3)]$$

Здесь  $\beta \in [-1, 1]$  – безразмерный параметр. Это выражение позволяет записать  $\mathbf{S}^*$  форме

$$\mathbf{S}^* = \frac{\mu(T)}{2} [(1 + \beta)e^{-3\alpha\Delta T} \mathbf{B}^* - (1 - \beta)e^{3\alpha\Delta T} \mathbf{B}^{*-1} + p^* e^{-3\alpha\Delta T} \mathbf{E}]$$

Используя соотношения (2.3), получим

$$\mathbf{S}^* = \frac{\mu(T)}{2} e^{-3\alpha\Delta T} [(1 + \beta)\mathbf{B} e^{2\alpha\Delta T} - (1 - \beta)\mathbf{B}^{-1} e^{4\alpha\Delta T} + p^* \mathbf{E}] \quad (2.7)$$

В конфигурации I введем систему координат  $(q^1, q^2, q^3)$ , которые будем считать материальными, тогда базисные векторы этой системы в этой конфигурации примут вид (крестик означает векторное произведение)

$$\mathbf{R}_k = \frac{\partial \mathbf{R}}{\partial q^k}, \quad \mathbf{R}^1 = \frac{\mathbf{R}_2 \times \mathbf{R}_3}{v}, \quad \mathbf{R}^2 = \frac{\mathbf{R}_3 \times \mathbf{R}_1}{v}, \quad \mathbf{R}^3 = \frac{\mathbf{R}_1 \times \mathbf{R}_2}{v}, \quad v = \mathbf{R}_1 \cdot \mathbf{R}_2 \times \mathbf{R}_3$$

Тензор градиента изотермической деформации связан с тензором градиента места соотношением

$$\mathbf{F}^{Tr} = \overset{0}{\nabla} \bar{\mathbf{r}} = \mathbf{R}^k \bar{\mathbf{r}}_k$$

Здесь  $\overset{0}{\nabla} = \mathbf{R}^k \partial / \partial q^k$  – оператор Гамильтона в базе I конфигурации.  $\bar{\mathbf{r}}_k = \partial \bar{\mathbf{r}} / \partial q^k$  – базис материальной системы координат в конфигурации II.

Уравнение равновесия, в отсутствии объемных внешних усилий, имеет вид

$$\nabla^* \cdot \mathbf{S}^* = 0 \quad (2.8)$$

Здесь  $\nabla^* = \mathbf{r}^{*k} \partial / \partial q^k$  – оператор Гамильтона в базе III конфигурации,  $\mathbf{r}^{*k}$  – базис, взаимный с базисом  $\mathbf{r}_k^*$  материальной системы координат в конфигурации III. Спра-

ведливо представление  $\mathbf{r}_k^* = \mathbf{F}^* \cdot \mathbf{R}_k = e^{\alpha\Delta T} \mathbf{F} \cdot \mathbf{R}_k = e^{\alpha\Delta T} \bar{\mathbf{r}}_k$  и  $\mathbf{v}^* = \mathbf{r}_1^* \cdot \mathbf{r}_2^* \times \mathbf{r}_3^* = e^{3\alpha\Delta T} \bar{\mathbf{r}}_1 \cdot \bar{\mathbf{r}}_2 \times \bar{\mathbf{r}}_3 = e^{3\alpha\Delta T} \bar{\mathbf{v}}$ . Следовательно,  $\mathbf{r}^{*k} = e^{-\alpha\Delta T} \bar{\mathbf{r}}^k$  и

$$\nabla^* = e^{-\alpha\Delta T} \bar{\nabla}.$$

Подставляя (2.7) в (2.8), получим

$$\bar{\nabla} \cdot [(1 + \beta)\mathbf{B}e^{2\alpha\Delta T} - (1 - \beta)\mathbf{B}^{-1}e^{4\alpha\Delta T}] = -\bar{\nabla}p^* \quad (2.9)$$

Исключая в (2.9) гидростатическую функцию, получим уравнение для нахождения деформации из конфигурации I в конфигурацию II.

$$\bar{\nabla} \times \bar{\nabla} \cdot [(1 + \beta)\mathbf{B}e^{2\alpha\Delta T} - (1 - \beta)\mathbf{B}^{-1}e^{4\alpha\Delta T}] = 0 \quad (2.10)$$

Присутствие экспоненциальных множителей объясняется формулировкой уравнений равновесия в конфигурации III.

Силовые граничные условия можно записать в виде

$$\mathbf{n} \cdot \mathbf{S}^* = \mathbf{f}^* \quad (2.11)$$

Здесь  $\mathbf{n}$  – единичный внешний нормальный вектор к граничной поверхности в конфигурации III,  $\mathbf{f}^*$  – плотность внешних поверхностных сил, приложенных к границе конфигурации III и рассчитанная на единицу поверхности в этой конфигурации.

**3. Случай, когда изотермическая деформация является цилиндрической [6].** Рассматривается изотермическая деформация круглой цилиндрической втулки, подвергнутой на внутренней и внешней боковых поверхностях действию продольных сдвигающих сил  $\mathbf{Q} = Q\mathbf{k}$  при температуре  $T_0$ . Через  $R_1$  и  $R_2$  обозначаются внутренний и внешний радиусы втулки, а через  $H$  ее длина. Далее деформированная втулка помещается в однородное температурное поле  $T$ , в котором она свободно расширяется.

Решение проводится полуобратным методом. В качестве материальной системы координат выбрана цилиндрическая система  $(R, \Phi, Z)$ , причем ось  $OZ$  совпадает с осью симметрии втулки. Втулка считается достаточно длинной, чтобы пренебречь торцевыми эффектами и считать напряженно-деформированное состояние независимым от  $Z$ . В этих условиях для описания цилиндрической деформации можно использовать кинематическую гипотезу коаксиальных сечений, то есть сечения цилиндрические и коаксиальные до деформации остаются таковыми и после деформации (ось единая для всех таких сечений совпадает с осью симметрии втулки). В цилиндрической системе координат в силу осевой симметрии вектор места в конфигурации II задается соотношением

$$\bar{\mathbf{r}} = f(R)\mathbf{e}_R + [Z + w(R)]\mathbf{k}$$

Здесь  $w(R)$  и  $f(R)$  подлежащие определению функции,  $\{\mathbf{e}_R, \mathbf{e}_\Phi, \mathbf{k}\}$  – единичный базис цилиндрической системы координат с оператором Гамильтона

$$\overset{0}{\nabla} = \mathbf{e}_R \frac{\partial}{\partial R} + \frac{\mathbf{e}_\Phi}{R} \frac{\partial}{\partial \Phi} + \mathbf{k} \frac{\partial}{\partial Z}$$

Тензор градиента места получается в виде

$$\overset{0}{\nabla} \bar{\mathbf{r}} = \frac{df(R)}{dR} \mathbf{e}_R \mathbf{e}_R + \frac{f(R)}{R} \mathbf{e}_\Phi \mathbf{e}_\Phi + \frac{dw(R)}{dR} \mathbf{e}_R \mathbf{k} + \mathbf{k} \mathbf{k}$$

Так, что условие несжимаемости ( $\det \overset{0}{\nabla} \bar{\mathbf{r}} = 1$ ) принимает форму дифференциального уравнения  $\overset{0}{f}f' = R$  (штрих означает производную по  $R$ ), решение которого имеет

вид  $f(R) = \sqrt{R^2 + R_1^2} \eta$ . Здесь  $\eta$  постоянная интегрирования, в дальнейшем играющая роль безразмерного параметра. Таким образом, имеем

$$\bar{\mathbf{r}} = \frac{R}{\xi(R)} \mathbf{e}_R + [Z + w(R)] \mathbf{k}, \quad \xi(R) = \frac{R}{\sqrt{R^2 + R_1^2} \eta} \quad (3.1)$$

$$\mathbf{F}^{Tr} = \xi(R) \mathbf{e}_R \mathbf{e}_R + \frac{1}{\xi(R)} \mathbf{e}_\Phi \mathbf{e}_\Phi + w'(R) \mathbf{e}_R \mathbf{k} + \mathbf{k} \mathbf{k}$$

$$\mathbf{F} = \xi(R) \mathbf{e}_R \mathbf{e}_R + \frac{1}{\xi(R)} \mathbf{e}_\Phi \mathbf{e}_\Phi + w'(R) \mathbf{k} \mathbf{e}_R + \mathbf{k} \mathbf{k}$$

$$\mathbf{B} = \xi^2(R) \mathbf{e}_R \mathbf{e}_R + \frac{1}{\xi^2(R)} \mathbf{e}_\Phi \mathbf{e}_\Phi + \xi(R) w'(R) (\mathbf{e}_R \mathbf{k} + \mathbf{k} \mathbf{e}_R) + [1 + w'^2(R)] \mathbf{k} \mathbf{k} \quad (3.2)$$

$$\mathbf{B}^{-1} = \frac{1 + w'^2(R)}{\xi^2(R)} \mathbf{e}_R \mathbf{e}_R + \xi^2(R) \mathbf{e}_\Phi \mathbf{e}_\Phi - \frac{w'(R)}{\xi(R)} (\mathbf{e}_R \mathbf{k} + \mathbf{k} \mathbf{e}_R) + \mathbf{k} \mathbf{k} \quad (3.3)$$

Подставляя эти выражения в (2.7), получим

$$\begin{aligned} \mathbf{S}^* = \frac{\mu(T)}{2} e^{-3\alpha\Delta T} \{ & [(1 + \beta) e^{2\alpha\Delta T} \xi^2(R) - (1 - \beta) e^{4\alpha\Delta T} [1 + w'^2(R)] \xi^{-2}(R) + p^*] \mathbf{e}_R \mathbf{e}_R + \\ & + [(1 + \beta) e^{2\alpha\Delta T} \xi^{-2}(R) - (1 - \beta) e^{4\alpha\Delta T} \xi^2(R) + p^*] \mathbf{e}_\Phi \mathbf{e}_\Phi + \\ & + w'(R) [(1 + \beta) e^{2\alpha\Delta T} \xi(R) + (1 - \beta) e^{4\alpha\Delta T} \xi^{-1}(R)] (\mathbf{e}_R \mathbf{k} + \mathbf{k} \mathbf{e}_R) + \\ & + [(1 + \beta) e^{2\alpha\Delta T} [1 + w'^2(R)] - (1 - \beta) e^{4\alpha\Delta T} + p^*] \mathbf{k} \mathbf{k} \} \end{aligned} \quad (3.4)$$

По (3.1) базисные векторы материальной системы координат в конфигурации II имеют вид  $\bar{\mathbf{r}}_1 = \xi(R) \mathbf{e}_R + w'(R) \mathbf{k}$ ,  $\bar{\mathbf{r}}_2 = R/\xi(R) \mathbf{e}_\Phi$ ,  $\bar{\mathbf{r}}_3 = \mathbf{k}$ , по ним вычисляется сопряженный базис и оператор Гамильтона в базисе II конфигурации

$$\bar{\nabla} = \frac{\mathbf{e}_R}{\xi(R)} \frac{\partial}{\partial R} + \frac{\xi(R) \mathbf{e}_\Phi}{R} \frac{\partial}{\partial \Phi} + \left[ \mathbf{k} - \frac{w'(R)}{\xi(R)} \mathbf{e}_R \right] \frac{\partial}{\partial Z} \quad (3.5)$$

Подставляя (3.2), (3.3) в (2.9), учитывая (3.5) и приравнивая к нулю компоненты полученного вектора, имеем уравнения равновесия

$$\left\{ \frac{R}{\xi(R)} [(1 + \beta) e^{2\alpha\Delta T} \xi(R) + (1 - \beta) e^{4\alpha\Delta T} \xi^{-1}(R)] w'(R) \right\}' = 0 \quad (3.6)$$

$$\begin{aligned} \frac{1}{R} \left\{ \frac{R}{\xi(R)} [(1 + \beta) e^{2\alpha\Delta T} \xi^2(R) - (1 - \beta) e^{4\alpha\Delta T} [1 + w'^2(R)] \xi^{-2}(R)] \right\}' - \\ - \frac{\xi(R)}{R} [(1 + \beta) e^{2\alpha\Delta T} \xi^{-2}(R) - (1 - \beta) e^{4\alpha\Delta T} \xi^2(R)] = -\frac{1}{\xi(R)} p^{*'} \end{aligned} \quad (3.7)$$

Уравнение (2.10) сводится к виду

$$\left\{ \frac{R}{\xi(R)} [(1 + \beta) e^{2\alpha\Delta T} \xi(R) + (1 - \beta) e^{4\alpha\Delta T} \xi^{-1}(R)] w'(R) \right\}'' = 0$$

и является следствием (3.6).

Из уравнения (3.6) следует, что

$$[(1 + \beta) e^{2\alpha\Delta T} \xi(R) + (1 - \beta) e^{4\alpha\Delta T} \xi^{-1}(R)] w'(R) = \frac{c \xi(R)}{R} \quad (3.8)$$

где  $c$  – константа интегрирования.

Вектор единичной нормали  $\mathbf{n}$  к любой цилиндрической поверхности  $R = \text{const}$  внутри втулки в процессе термоупругой деформации не меняется и совпадает с  $\mathbf{e}_R$ . Будем считать, что внешняя нагрузка  $\mathbf{Q} = Q\mathbf{k}$  “мертвая” и в процессе теплового расширения не меняется, поэтому ее можно вычислить до теплового расширения.  $Q\mathbf{k} = \iint_{\bar{S}} \mathbf{n} \cdot \bar{\mathbf{S}} d\bar{\sigma}$ . Здесь  $\bar{\mathbf{S}} = \mathbf{S}^*|_{\Delta T=0}$ ,  $d\bar{\sigma} = R/\xi(R) d\Phi dZ$ . Далее

$$\begin{aligned} \frac{Q}{H} \mathbf{k} &= \int_0^{2\pi} \mathbf{e}_R \cdot \bar{\mathbf{S}} \frac{R}{\xi(R)} d\Phi = \int_0^{2\pi} [\bar{S}_{RR}\mathbf{e}_R + \bar{S}_{RZ}\mathbf{k}] \frac{R}{\xi(R)} d\Phi = 2\pi \bar{S}_{RZ} \frac{R}{\xi(R)} \mathbf{k} = \\ &= \pi\mu(T_0)[(1+\beta)\xi(R) + (1-\beta)\xi^{-1}(R)]w'(R) \frac{R}{\xi(R)} \mathbf{k} = \pi\mu(T_0) c\mathbf{k} \end{aligned}$$

Использованы выражения (3.4) и (3.8) при  $\Delta T = 0$ . Из последнего соотношения получаем  $c = Q(\pi\mu(T_0)H)^{-1}$ , и из (3.4) следуют выражение для касательных напряжений

$$\sigma_{RZ} = S_{RZ}^* = \frac{\mu(T)}{\mu(T_0)} \frac{Q}{2\pi H e^{3\alpha\Delta T} \sqrt{R^2 + R_1^2 \eta}} \quad (3.9)$$

а так же уравнение для нахождения продольного сдвига

$$w'(R) = \frac{QR}{\pi\mu(T_0)H[(1+\beta)e^{2\alpha\Delta T}R^2 + (1-\beta)e^{4\alpha\Delta T}(R^2 + R_1^2\eta)]} \quad (3.10)$$

Из (3.10) следует, что при заданном  $Q$  температура влияет на продольное смещение только через тепловое расширение и параметр  $\eta$ , тогда как по (3.9) на распределение касательных напряжений она влияет еще и через зависимость  $\mu(T)$ .

Для нахождения параметра  $\eta$  обратимся к плоской части цилиндрического напряженного состояния, порожденного конечным осевым сдвигом [6]. Уравнение (3.7) позволяет найти функцию гидростатического давления

$$\begin{aligned} p^* &= \int_{R_1}^R \frac{\xi^2(s)}{s} [(1+\beta)e^{2\alpha\Delta T}\xi^{-2}(s) - (1-\beta)e^{4\alpha\Delta T}\xi^2(s)] - \\ &- \frac{\xi(s)}{s} \frac{d}{ds} \left\{ \frac{s}{\xi(s)} [(1+\beta)e^{2\alpha\Delta T}\xi^2(s) - (1-\beta)e^{4\alpha\Delta T}[1+w'^2(s)]\xi^{-2}(s)] \right\} ds + p_0 \end{aligned}$$

Здесь  $\xi(R)$  и  $w'(R)$  определяются формулами (3.1) и (3.10).

Из силовых граничных условий следует отсутствие нормальных напряжений на боковых поверхностях втулки  $S_{RR}^*(R_1) = S_{RR}^*(R_2) = 0$ . Получаем два уравнения для нахождения  $p_0$  и  $\eta$ .

Перейдем к безразмерным переменным и параметрам

$$v = \frac{w}{R_1}, \quad \rho = \frac{R}{R_1}, \quad \kappa = \frac{R_2}{R_1}, \quad \delta = \frac{\Delta}{R_1}, \quad w'(R) = \frac{dw(R)}{dR} = \frac{dv(\rho)}{d\rho} = \dot{v}(\rho)$$

а так же введем плотность сдвигового усилия, отнесенную к площади внутренней боковой поверхности в отсчетной конфигурации I.

$$q = \frac{Q}{2\pi R_1 H}$$

В новых переменных выражение для касательных напряжений и уравнение для нахождения продольного смещения примут вид

$$\sigma_{RZ} = \frac{\mu(T)}{\mu(T_0)} \frac{q}{e^{3\alpha\Delta T} \sqrt{\rho^2 + \eta}}, \quad \rho \in [1, \kappa] \quad (3.11)$$

$$\dot{v} = \frac{2q\rho}{\mu(T_0)[(1 + \beta)e^{2\alpha\Delta T} \rho^2 + (1 - \beta)e^{4\alpha\Delta T} (\rho^2 + \eta)]} \quad (3.12)$$

Для исключения продольного смещения втулки как жесткого целого потребуем, чтобы внутренняя обойма не смещалась, тогда выражение для продольного сдвига получится в форме

$$v(\rho) = \frac{2q}{\mu(T_0)} \int_1^\rho \frac{t dt}{[(1 + \beta)e^{2\alpha\Delta T} t^2 + (1 - \beta)e^{4\alpha\Delta T} (t^2 + \eta)]} \quad (3.13)$$

Из (3.13) получаем жесткостную характеристику втулки для продольного сдвига

$$\delta = \frac{2q}{\mu(T_0)} \int_1^\kappa \frac{\rho d\rho}{(1 + \beta)e^{2\alpha\Delta T} \rho^2 + (1 - \beta)e^{4\alpha\Delta T} (\rho^2 + \eta)} \quad (3.14)$$

Функция гидростатического давления примет вид

$$p^*(\rho) = \int_1^\rho \frac{\xi^2(t)}{t} [(1 + \beta)e^{2\alpha\Delta T} \xi^{-2}(t) - (1 - \beta)e^{4\alpha\Delta T} \xi^2(t)] - \frac{\xi(t)}{t} \frac{d}{dt} \left\{ \frac{t}{\xi(t)} [(1 + \beta)e^{2\alpha\Delta T} \xi^2(t) - (1 - \beta)e^{4\alpha\Delta T} [1 + \dot{v}^2(t)] \xi^{-2}(t)] \right\} dt + p_0 \quad (3.15)$$

Здесь  $\xi(t) = t(t^2 + \eta)$  и  $\dot{v}(t)$  находится по (3.12).

Уравнения для нахождения  $p_0$  и  $\eta$  запишутся в форме

$$\begin{cases} (1 + \beta)e^{2\alpha\Delta T} \xi^2(1) - (1 - \beta)e^{4\alpha\Delta T} [1 + \dot{v}^2(1)] \xi^{-2}(1) + p^*(1) = 0 \\ (1 + \beta)e^{2\alpha\Delta T} \xi^2(\kappa) - (1 - \beta)e^{4\alpha\Delta T} [1 + \dot{v}^2(\kappa)] \xi^{-2}(\kappa) + p^*(\kappa) = 0 \end{cases} \quad (3.16)$$

**4. Решение поставленной задачи.** Из первого уравнения в (3.16) и выражения для  $p^*$  следует

$$p_0^* = -(1 + \beta)e^{2\alpha\Delta T} \xi^2(1) + (1 - \beta)e^{4\alpha\Delta T} [1 + \dot{v}^2(1)] \xi^{-2}(1) \quad (4.1)$$

Подставляя (4.1) в выражение для  $p^*$ , а последнее во второе уравнение (3.16)

$$\begin{aligned} & (1 + \beta)e^{2\alpha\Delta T} \xi^2(\kappa) - (1 - \beta)e^{4\alpha\Delta T} [1 + \dot{v}^2(\kappa)] \xi^{-2}(\kappa) + \\ & + \int_1^\kappa \frac{\xi^2(t)}{t} [(1 + \beta)e^{2\alpha\Delta T} \xi^{-2}(t) - (1 - \beta)e^{4\alpha\Delta T} \xi^2(t)] - \\ & - \frac{\xi(t)}{t} \frac{d}{dt} \left\{ \frac{t}{\xi(t)} [(1 + \beta)e^{2\alpha\Delta T} \xi^2(t) - (1 - \beta)e^{4\alpha\Delta T} [1 + \dot{v}^2(t)] \xi^{-2}(t)] \right\} dt - \\ & - (1 + \beta)e^{2\alpha\Delta T} \xi^2(1) + (1 - \beta)e^{4\alpha\Delta T} [1 + \dot{v}^2(1)] \xi^{-2}(1) = 0 \end{aligned} \quad (4.2)$$

получим уравнение, связывающее  $\eta$  и  $q$  (последнее входит в выражение для  $\dot{v}$ , а первое входит в выражения для  $\xi$  и  $\dot{v}$ ).



Вычисляя интегралы в (3.13), (3.14), (3.15) с учетом (4.1), имеем

$$\begin{aligned}
 v &= \frac{q \ln \left( \frac{(\rho^2 + \eta)(1 - \beta)e^{4\alpha\Delta T} + \rho^2(1 + \beta)e^{2\alpha\Delta T}}{(\eta + 1)(1 - \beta)e^{4\alpha\Delta T} + (1 + \beta)e^{2\alpha\Delta T}} \right)}{\mu(T_0)((1 - \beta)e^{4\alpha\Delta T} + (1 + \beta)e^{2\alpha\Delta T})} \\
 \frac{dv}{d\rho} &= \frac{2q\rho}{\mu(T_0)[(\rho^2 + \eta)(1 - \beta)e^{4\alpha\Delta T} + \rho^2(\beta + 1)e^{2\alpha\Delta T}]} \\
 \delta &= \frac{q \ln \left( \frac{(\kappa^2 + \eta)(1 - \beta)e^{4\alpha\Delta T} + \kappa^2(\beta + 1)e^{2\alpha\Delta T}}{(\eta + 1)(1 - \beta)e^{4\alpha\Delta T} + (\beta + 1)e^{2\alpha\Delta T}} \right)}{\mu(T_0)((1 - \beta)e^{4\alpha\Delta T} + (\beta + 1)e^{2\alpha\Delta T})} \quad (4.3) \\
 p^* &= [(1 - \beta)e^{4\alpha\Delta T} + (1 + \beta)e^{2\alpha\Delta T}] \ln \frac{\rho}{\sqrt{\rho^2 + \eta}} - \frac{\eta(\beta - 1)(\rho^2 + 2\eta)e^{4\alpha\Delta T}}{2\rho^2(\rho^2 + \eta)} + \\
 &+ \frac{\eta(1 + \beta)e^{2\alpha\Delta T}}{2(\rho^2 + \eta)} + \frac{[-2(\beta - 1)^2(\rho^2 + \eta)e^{4\alpha\Delta T} + 2(\beta^2 - 1)e^{2\alpha\Delta T}]q^2}{\mu(T_0)^2[e^{2\alpha\Delta T}(\beta - 1) - (\beta + 1)][(\rho^2 + \eta)(\beta - 1)e^{2\alpha\Delta T} - \rho^2(\beta + 1)]^2} + \\
 &+ \frac{1}{2}[(1 - \beta)e^{4\alpha\Delta T} + (\beta + 1)e^{2\alpha\Delta T}] \ln(1 + \eta) + \frac{\eta(\beta - 1)(1 + 2\eta)e^{4\alpha\Delta T}}{2(1 + \eta)} - \\
 &- \frac{\eta(1 + \beta)e^{2\alpha\Delta T}}{2(1 + \eta)} - \frac{[-2(\beta - 1)^2(1 + \eta)e^{4\alpha\Delta T} + 2(\beta^2 - 1)e^{2\alpha\Delta T}]q^2}{\mu(T_0)^2[e^{2\alpha\Delta T}(\beta - 1) - (\beta + 1)][(1 + \eta)(\beta - 1)e^{2\alpha\Delta T} - (\beta + 1)]^2} - \\
 &- \frac{(\beta + 1)e^{2\alpha\Delta T}}{\eta + 1} + (1 - \beta)e^{4\alpha\Delta T}(\eta + 1) \left[ 1 + \frac{4q^2}{[(\beta - 1)(1 + \eta)e^{4\alpha\Delta T} - (\beta + 1)e^{2\alpha\Delta T}]^2 \mu(T_0)^2} \right]
 \end{aligned}$$

Найденные выражения подставляются в (4.2), получаем уравнение для нахождения  $\eta$ , которое не приводится из-за громоздкости. Решая его для заданных  $q$ ,  $\alpha$ ,  $\beta$ ,  $\mu(T_0)$ , получим  $\eta$ . То есть на параметр  $\eta$  температура влияет только через тепловое расширение. Далее по (3.11) вычисляется радиальное распределение сдвиговых касательных напряжений, а по (4.3) вычисляются жесткостные кривые продольного сдвига.

Зависимость  $\mu(T)$  в области высокоэластичной деформации в [10] аппроксимируется выражением  $\mu(T) = (273 + \Delta T)\rho_m R_m / M_m$ . Здесь  $\rho_m$  – массовая плотность эластомера,  $R_m$  – универсальная газовая постоянная,  $M_m$  – средняя молекулярная масса эластомера. Таким образом,  $\mu(T)/\mu(T_0) = 1 + \Delta T/273$ .

Отметим роль параметра  $\beta \in [-1, 1]$ . При  $\beta = 1$  потенциал Муни–Ривлина переходит в потенциал Трелоара,  $\eta = 0$ , напряжения и деформации в поперечной плоскости отсутствуют и напряженно-деформированное состояние становится антиплоским.

$$\sigma_{RZ} = \left( 1 + \frac{\Delta T}{273} \right) e^{-3\alpha\Delta T} \frac{q}{\rho}, \quad \rho = 1 \dots \kappa, \quad \delta = \frac{q \ln(\kappa)}{\mu(T_0) e^{2\alpha\Delta T}} \quad (4.4)$$

Из этих соотношений видно, что жесткость на сдвиг с ростом температуры растет, поведение распределения касательных напряжений определяется коэффициентом  $kt = (1 + \Delta T/273) e^{-3\alpha\Delta T}$ . Для  $\alpha = 0.0002$  [1] он больше единицы и растет с ростом температуры. На рис. 2 представлены жесткостные характеристики (а) и распределения касательных напряжений  $\sigma_{RZ}$  (б) для (4.4) при температуре  $\Delta T = 20^\circ\text{C}$  (кривая 1) и  $\Delta T = 60^\circ\text{C}$  (кривая 2) для втулки с  $\kappa = 2$ . Здесь и ниже  $\mu(T_0) = 5$  МПа, а распределения касательных напряжений вычисляются при  $q = 2$  МПа.

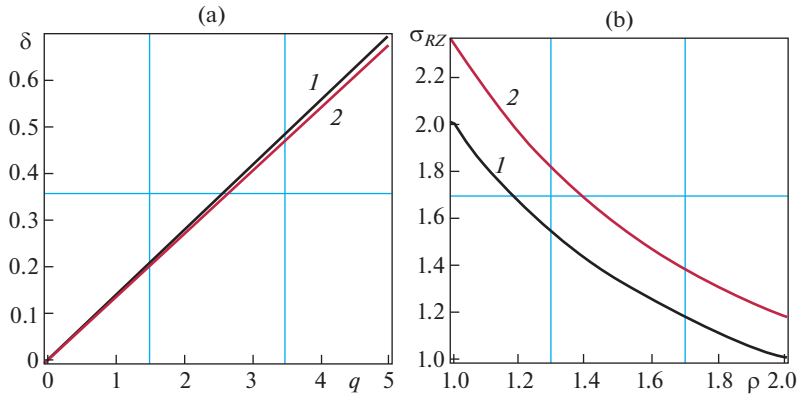


Рис. 2

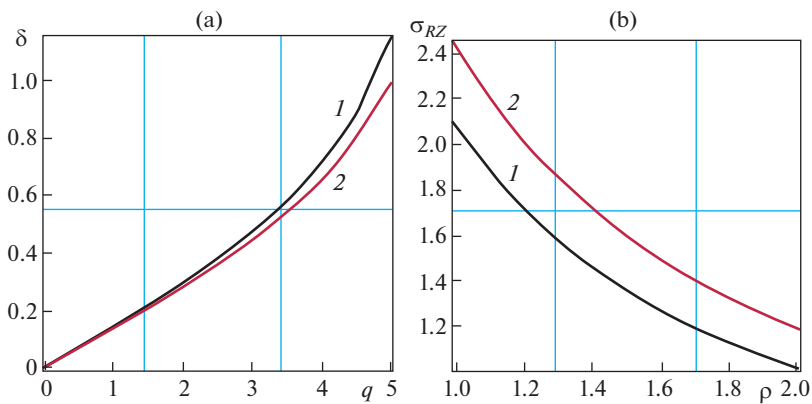


Рис. 3

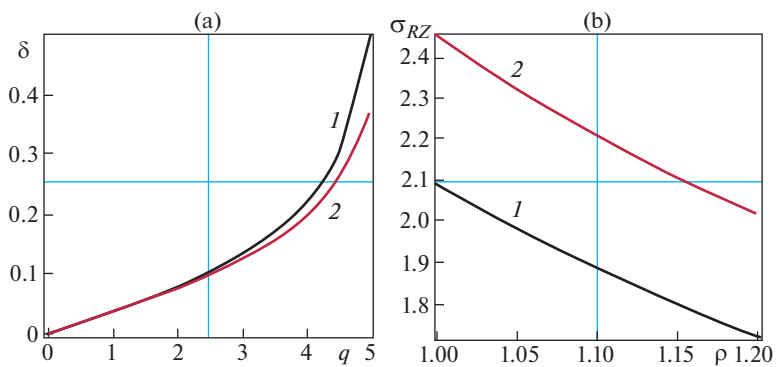


Рис. 4

С убыванием  $\beta$  от 1 до  $-1$  увеличивается  $|\eta|$  и возникает плоское напряженно-деформированное состояние в поперечной плоскости, причем  $S_{RR} \neq 0$ ,  $S_{\Phi\Phi} \neq 0$ ,  $S_{R\Phi} = 0$ . На рис. 3 и 4 представлены жесткостные характеристики (а) и распределения касательных напряжений  $\sigma_{RZ}$  (б) при  $\beta = -1$ .

Для возможности визуального сравнения на одной фигуре распределения касательных напряжений они приведены для поперечного сечения в недеформированной конфигурации. Рис. 3 соответствует  $\kappa = 2$ , а рис. 4 соответствует  $\kappa = 1.2$ . Кривые 1 отвечают температуре  $\Delta T = 20^\circ\text{C}$ , а кривые 2 отвечают температуре  $\Delta T = 60^\circ\text{C}$ . Повышение температуры увеличивает продольную жесткость втулки и сдвиговые касательные напряжения.

Толщина втулки практически не влияет на концентрацию напряжений (только через параметр  $\eta$ ). Введем коэффициент концентрации касательных напряжений в виде  $K[i] = \max \sigma_{RZ}[i]/q$  для  $i$ -й кривой. Тогда для втулки с  $\kappa = 2$ ,  $\kappa = 1.2$   $K[1] = 1.05$ ,  $K[2] = 1.23$ , так что коэффициент концентрации увеличивается в 1.17 раза. Сильнее толщина влияет на эффект увеличения жесткости втулки на сдвиг с ростом температуры. Так для  $\kappa = 2$  максимальная разница между жесткостными кривыми 1 и 2 составляет 9%, а для  $\kappa = 1.2$ –13.3%. Эффект от повышения температуры является существенным как для концентрации касательных напряжений, так и для жесткостных кривых.

**5. Заключение.** Продемонстрирована постановка задач термоупругости, учитывающая нелинейную зависимость теплового расширения от температуры при конечных деформациях. В рамках этой постановки показано существенное влияние тепловых процессов на напряженно-деформированное состояние. Это два конкурирующих процесса – тепловое расширение эластомеров и увеличение модуля сдвига с ростом температуры. Первый снижает напряжения при “мертвой” нагрузке, а второй увеличивает. Для коэффициента теплового расширения  $\alpha = 0.0002$  характерного для эластомеров и аппроксимации  $\mu(T) = (273 + \Delta T)\rho_m R_m / M_m$  в области высокоэластичной деформации второй процесс превалирует над первым.

В качестве примера рассмотрена изотермическая деформация круглой эластомерной цилиндрической втулки, подвергнутой на внутренней и внешней боковых поверхностях действию продольных сдвигающих сил с модулем  $Q$  при температуре  $T_0$ . Далее, деформированная втулка помещается в однородное температурное поле  $T$ , в котором она свободно расширяется. Потенциал энергии деформации Муни–Ривлина взят в виде  $W^* = [(1 + \beta)(I_q^* - 3) + (1 - \beta)(I_2^* - 3)]\mu(T)/4$ ,  $\beta \in [-1, 1]$ . При  $\beta = 1$  потенциал Муни–Ривлина переходит в потенциал Трелоара, напряжения и деформации в поперечной плоскости отсутствуют и напряженно-деформированное состояние становится антиплоским. С убыванием  $\beta$  от 1 до  $-1$  возникает плоская составляющая цилиндрического напряженно-деформированного состояния. Повышение температуры увеличивает продольную жесткость втулки и повышает сдвиговые касательные напряжения, увеличивая их концентрацию. Этот эффект не зависит от толщины втулки для распределения касательных напряжений и заметно зависит от нее для жесткостных кривых. Эффект от повышения температуры является существенным как для концентрации касательных напряжений, так и для жесткостных кривых.

## СПИСОК ЛИТЕРАТУРЫ

1. Бухина М. Ф. Техническая физика эластомеров. М.: Химия, 1984. 224 с.
2. Лавендел Э. Э. Расчет резинотехнических изделий. М.: Машиностроение, 1976. 232 с.

3. Прикладные методы расчета изделий из высокоэластичных материалов / Дымников С. И., Лавендел Э. Э., Павловскис А. А., Сниегс. М.И.; Под ред. Лавендела Э.Э. Рига: Зинатне, 1980. 238 с.
4. *Mason J. D.* Thermal and mechanical behavior of rubber systems. (1997). Doctoral Dissertations 1896 – February 2014. 95. [http://scholarworks.umass.edu/dissertations\\_1/956](http://scholarworks.umass.edu/dissertations_1/956)
5. *Пальмов В. А.* Определяющие уравнения термоупругих, термовязких и термопластических материалов: учеб. пособие / В. А. Пальмов. СПб.: Изд-во Политехн. ун-та, 2009. 138 с.
6. *Жуков Б.А.* Плоское напряженно-деформированное состояние круговой цилиндрической втулки, порожденное конечным антиплоским сдвигом // Изв. РАН. МТТ. 2017. № 1. С. 136–144.
7. *Лурье А. И.* Нелинейная теория упругости. М.: Наука, 1980. 512 с.
8. *Truesdell C., Noll W.* The Non-linear Field Theories of Mechanics. N. Y.: Springer, 2003. 602 p.
9. *Черных К.Ф., Шубина И.М.* Законы упругости для изотропных несжимаемых материалов, феноменологический подход // Механика эластомеров. Краснодар, 1977. Т. 1. Вып. 242. С. 54–64.
10. *Трелоар Л.* Физика упругости каучука. М.: Инлит, 1953. 369 с.